

Л. П. Беседина

**ОПТИМИЗАЦИЯ НАПРЯЖЕННОГО СОСТОЯНИЯ
ЦИЛИНДРИЧЕСКОЙ ОБОЛОЧКИ ПРИМЕНЕЛЬНО К УСЛОВИЯМ ЕЕ СВАРКИ
ВДОЛЬ МЕРИДИАНА**

Рассмотрим свободную длинную цилиндрическую оболочку радиуса R , толщины $2h$, нагреваемую одновременно по всей длине переменным в кольцевом направлении β изменяющимся во времени t высокоградиентным в области $-\beta_0 \leq \beta \leq \beta_0$ постоянным по толщине симметричным относительно сечения $\beta = 0$ температурным полем $T_0(\beta, t)$. Ставим задачу об определении дополнительного к $T_0(\beta, t)$ температурного поля

$$T(\beta, \gamma, t) = T_1(\beta, t) + \frac{\gamma}{h} T_2(\beta, t), \quad (1)$$

которое для заданных в фиксированных сечениях $\beta = \eta_i$ этой области ограничений на температурное поле и напряжения обеспечивает условия упругого деформирования при оптимально низком уровне температурных напряжений. Здесь

$$T_1(\beta, t) = T_0(\beta, t) + T_1^*(\beta, t) [S_+(\beta + \beta_1) - S_+(\beta - \beta_1)]; \quad (2)$$

$S_+(\beta)$ — единичная функция скачка. В данном случае оболочка находится в условиях плоской деформации и напряженное состояние ее определяется следующими [4] усилиями N_1, N_2 и моментами M_1, M_2 :

$$\begin{aligned} N_1 &= -\alpha D_0 \left[T_1 - \frac{1}{\pi} \int_0^\pi T_1 d\beta + \frac{2 \cos \beta}{\pi(1-v)} \int_0^\pi \left(v T_1 - \frac{R}{h} T_2 \right) \cos \beta d\beta \right], \\ N_2 &= -\frac{2\alpha D_0}{\pi(1-v)} \left(1 + 3 \frac{R^2}{h^2} \right)^{-1} \cos \beta \int_0^\pi \left(T_1 - \frac{R}{h} T_2 \right) \cos \beta d\beta, \\ M_1 &= -\frac{\alpha D_0 h}{3} \left(T_2 - \frac{2 \cos \beta}{\pi} \int_0^\pi T_2 \cos \beta d\beta \right), \\ M_2 &= \frac{2\alpha D_0 R}{\pi(1-v)} \left(1 + 3 \frac{R^2}{h^2} \right)^{-1} \cos \beta \int_0^\pi \left(T_1 - \frac{R}{h} T_2 \right) \cos \beta d\beta, \end{aligned} \quad (3)$$

где $D_0 = 2Eh$; E — модуль упругости; v — коэффициент Пуассона; α — коэффициент линейного температурного расширения; γ — координата по нормали к срединной поверхности оболочки.

Рассмотрим удельную энергию формоизменения [3] оболочки, которая с учетом тепловой деформации в перпендикулярном к срединной поверхности оболочки направлении представляется в виде

$$\begin{aligned} U &= \frac{ERh}{3(1+v)\alpha} \int_{-\pi}^\pi [\varepsilon_1^2 - \varepsilon_1 \varepsilon_2 + \varepsilon_2^2 - (\varepsilon_1 + \varepsilon_2) \alpha T_1 + \alpha^2 T_1^2 + \\ &+ \frac{h^2}{3} (\kappa_1^2 - \kappa_1 \kappa_2 + \kappa_2^2 - (\kappa_1 + \kappa_2) \frac{\alpha}{h} T_2 + \frac{\alpha^2}{h^2} T_2^2)] d\beta, \end{aligned} \quad (4)$$

где ε_i, κ_i — компоненты деформации срединной поверхности, и является функционалом, заданным на множестве искомых функций $T_1^*(\beta, t), T_2(\beta, t)$. Для их определения решим вариационную задачу [2] минимизации функционала энергии формоизменения (4) на множестве допустимых функций $T_1^*(\beta, t), T_2(\beta, t)$, обеспечивающих условия стационарности следующих

функционалов:

$$G_k [T_1^*] \equiv \int_{-\beta_1}^{\beta_1} \cos k\beta T_1^*(\beta, t) d\beta = A_k, \quad k = \overline{0, n}, \quad (5)$$

$$\Phi_i [T_2] \equiv \int_{-\pi}^{\pi} \cos i\beta T_2(\beta, t) d\beta = B_i, \quad i = \overline{0, m},$$

где A_k, B_i — некоторые постоянные. Получим

$$T_1^*(\beta, t) = \sum_{k=0}^n \gamma_k(t) \cos k\beta - T_0(\beta, t), \quad (6)$$

$$T_2(\beta, t) = \sum_{i=0}^m \lambda_i(t) \cos i\beta. \quad (7)$$

Неизвестные параметры γ_k, λ_i определяются из конкретных условий локального подогрева и ограничений на напряженное состояние в заданных меридиональных сечениях оболочки.

Определим оптимальные дополнительные усредненные по толщине температурные поля $T_1^*(\beta, t)$ подогрева области $-\beta_1 \leq \beta \leq \beta_1$ и перепады температуры $T_2(\beta, t)$ по толщине применительно к условиям сварки стыковым меридиональным швом цилиндрической оболочки.

Пусть сварка находящаяся в условиях конвективного теплообмена с окружающей средой цилиндрической оболочки происходит в результате действия на нее в промежутке времени $0 \leq t \leq t_0$ вдоль меридиана $\beta = 0$ равномерно распределенных по толщине источников тепла постоянной интенсивности. Изменяющееся во времени постоянное по толщине температурное поле $T_0(\beta, t)$, вызванное действием этих источников, следуя работе [5], найдем в виде

$$T_0(\beta, t) = \frac{T_*}{2 \operatorname{erf}(\sqrt{\text{Bi}} \tau_0)} \left[-2 \operatorname{sh}(\sqrt{\text{Bi}} |\beta|) + e^{\sqrt{\text{Bi}} |\beta|} \operatorname{erf}\left(\frac{|\beta|}{2\sqrt{\tau}} + \sqrt{\text{Bi}} \tau\right) - e^{-\sqrt{\text{Bi}} |\beta|} \operatorname{erf}\left(\frac{|\beta|}{2\sqrt{\tau}} - \sqrt{\text{Bi}} \tau\right) \right] \text{ при } 0 \leq t \leq t_0, \quad (8)$$

$$T_0(\beta, t) = \frac{T_*}{2 \operatorname{erf}(\sqrt{\text{Bi}} \tau_0)} \left\{ e^{-\sqrt{\text{Bi}} |\beta|} \left[\operatorname{erf}\left(\frac{|\beta|}{2\sqrt{\tau - \tau_0}} - \sqrt{\text{Bi}} (\tau - \tau_0)\right) - \operatorname{erf}\left(\frac{|\beta|}{2\sqrt{\tau}} - \sqrt{\text{Bi}} \tau\right) \right] - e^{\sqrt{\text{Bi}} |\beta|} \left[\operatorname{erf}\left(\frac{|\beta|}{2\sqrt{\tau - \tau_0}} + \sqrt{\text{Bi}} (\tau - \tau_0)\right) - \operatorname{erf}\left(\frac{|\beta|}{2\sqrt{\tau}} + \sqrt{\text{Bi}} \tau\right) \right] \right\} \text{ при } t_0 \leq t < \infty. \quad (9)$$

Здесь

$$\operatorname{erf} x = \frac{2}{\sqrt{\pi}} \int_0^x e^{-\xi^2} d\xi; \quad \text{Bi} = \frac{kR^2}{\lambda h}; \quad \tau = \frac{\lambda t}{c\rho R^2}; \quad T_* = T_0(0, t_0);$$

λ — коэффициент теплопроводности; k — коэффициент теплоотдачи поверхности тела; c — теплоемкость единицы массы; ρ — плотность материала.

Соответствующие усредненные по толщине температурные поля $T_1^*(\beta, t)$ подогрева и перепады температуры по толщине определялись для $n = m = 1$ при следующих ограничениях:

$$T_1^*(0, t) = 0, \quad T_1^*(\beta_1, t) = 0, \\ N_2(0, t) = 0, \quad M_1(0, t) = 0 \quad (10)$$

и для $n = 2, m = 1$ при условиях

$$T_1^*(0, t) = 0, \quad T_1^*(\beta_1, t) = 0, \\ N_1(0, t) = 0, \quad N_2(0, t) = 0, \quad M_1(0, t) = 0. \quad (11)$$

Числовые исследования выполнены для цилиндрической оболочки с $\frac{R}{h} = 30$, $\nu = 0,3$ при $Bi = 3,6$, $\tau_0 = \frac{\lambda_0}{c\rho R^2} = 0,1$.

На рис. 1 штрихпунктирными линиями изображены температурные поля сваривания $T_0(\beta, t)$ в моменты времени $\tau = 0,01$ (кривые 1), $\tau = 0,1$ (кривые 2) и $\tau = 0,11$ (кривые 3), сплошными и штриховыми — оптимальные температурные поля $T(\beta, t)$ на внешней $T^{(+)} = T_1 + T_2$ и внутренней $T^{(-)} = T_1 - T_2$ поверхностях оболочки соответственно, причем цифрам 1, 2, 3 отвечают оптимальные температурные поля для моментов времени $\tau = 0,01; 0,1; 0,11$ при $\beta_1 = 0,6\pi$, а цифре 2' — оптимальные температурные поля для момента времени $\tau = 0,1$ при $\beta_1 = \pi$, соответствующие ограничениям (10). Цифрой 2'' отмечены оптимальные температурные поля для момента времени $\tau = 0,1$, найденные при ограничениях (11).

На рис. 2 изображены температурные поля подогрева на внешней $T_n^{(+)} = T_1^* + T_2$ (сплошные линии) и внутренней $T_n^{(-)} = T_1^* - T_2$ (штриховые линии) поверхностях оболочки в моменты времени $\tau = 0,01$ (кривые 1), $\tau = 0,1$ (кривые 2), $\tau = 0,11$ (кривые 3) при $\beta_1 = 0,6\pi$ и ограничениях (10) и осевые напряжения σ (сплошные линии I, II, III) в процессе сваривания с подогревом соответственно. Штрихпунктирными линиями I, II, III представлены осевые напряжения σ , возникающие в те же моменты времени сваривания без подогрева. Из рисунка видно, что наибольшие осевые напряжения возникают в момент времени $\tau = \tau_0 = 0,1$ выключения источников тепла. Кольцевые напряжения практически отсутствуют во всех рассматриваемых случаях.

На рис. 3 проиллюстрированы возникающие в момент врем-

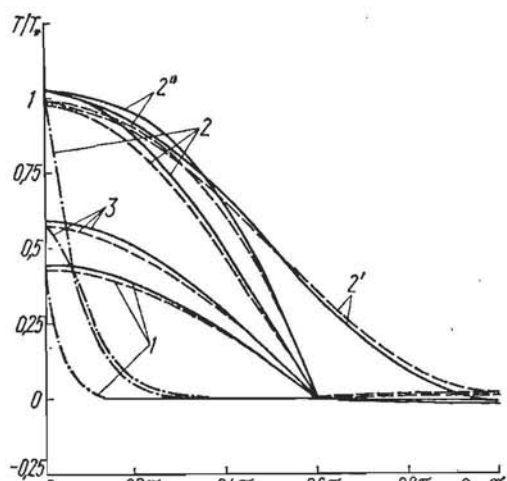


Рис. 1

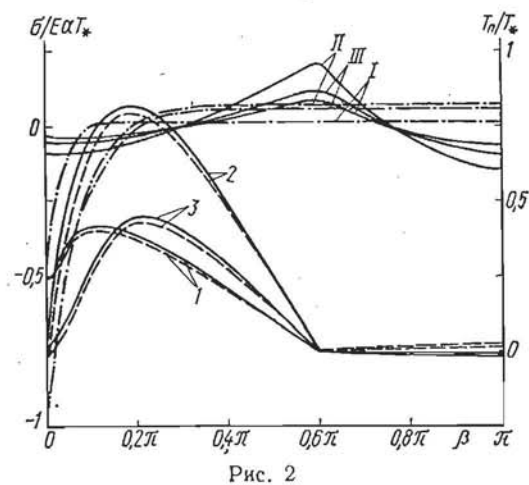


Рис. 2

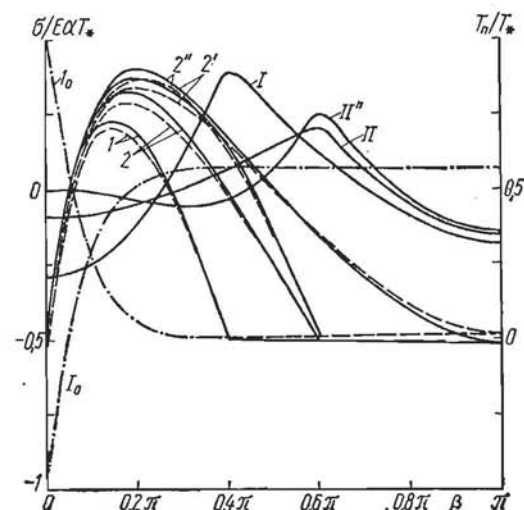


Рис. 3

мени $\tau = 0,1$ осевые напряжения (кривая I_0), обусловленные температурным полем сваривания (кривая I_0), осевые напряжения I и II , возникающие в результате сваривания с подогревом температурными полями, определенными соответственно при $\beta_1 = 0,4\pi$ (кривые I), $\beta_1 = 0,6\pi$ (кривые 2) и ограничениях (10) и осевые напряжения II'' , вызванные свариванием с подогревом температурным полем $2''$ при $\beta_1 = 0,6 \pi$ и ограничениях (11). Указанные температурные поля, а также температурное поле подогрева $2'$, соответствующее $\beta_1 = \pi$ и ограничениям (10), приведены на том же рисунке.

Отметим, что при локальном подогреве с увеличением зоны локального подогрева максимальные осевые напряжения уменьшаются и перемещаются в направлении от шва, а подогрев вдоль всей оболочки температурным полем $2'$ приводит к полному снятию в ней напряжений.

ЛИТЕРАТУРА

- Болотин В. В. Уравнения нестационарных температурных полей в тонких оболочках при наличии источников тепла. — Прикл. математика и механика, 1960, 24, № 2, с. 361—363.
- Гельфанд М. М., Фомин С. В. Вариационное исчисление. М., Физматгиз, 1961. 228 с.
- Ильюшин А. А. Пластичность. М.—Л., Гостехиздат, 1948. Ч. I. 376 с.
- Підстригач Я. С., Ярема С. Я. Температурні напруження в оболонках. Київ, Наук. думка, 1961. 212 с.
- Рыкалин Н. Н. Тепловые основы сварки. М.—Л., Наука, 1947. Ч. I. 271 с.

Львовский филиал математической
физики Института математики
АН УССР

Поступила в редакцию
14.09.77

УДК 539.377

Б. В. Гера

ОПТИМИЗАЦИЯ ДИНАМИЧЕСКИХ ТЕРМОНАПРЯЖЕНИЙ В ЦИЛИНДРИЧЕСКОЙ ОБОЛОЧКЕ

Цилиндрическая оболочка радиуса R и толщины $2h$, начальная температура которой равна нулю, теплоизолирована со стороны поверхности $\gamma = -h$. Поверхность оболочки $\gamma = h$ за промежуток времени $0 \leq \tau' \leq \tau_1$ нагревается до температуры, задаваемой функцией $\tilde{t}_H(\beta)$ (β — угловая координата, $-\pi \leq \beta \leq \pi$). В дальнейшем при $\tau > \tau_1$ распределение температуры на поверхности $\gamma = h$ поддерживается таким же. Задача состоит в нахождении функции $\tilde{t}^+(\beta, \tau)$, определяющей режим нагрева поверхности оболочки, при котором динамическое напряженное состояние оболочки оптимально близко к соответствующему ему квазистатическому приближению.

Динамические уравнения термоупругости для цилиндрической оболочки в условиях плоской деформации представим в безразмерном виде [1]

$$\left[c^2 (1 - l^2) \frac{\partial^2}{\partial \tau^2} - (1 + l^2) \frac{\partial^2}{\partial \beta^2} \right] V + \frac{\partial}{\partial \beta} \left(l^2 c^2 \frac{\partial^2}{\partial \tau^2} + l^2 \frac{\partial^2}{\partial \beta^2} - 1 \right) W + \frac{\partial T_1}{\partial \beta} + l^2 \frac{\partial T_2}{\partial \beta} = 0, \quad (1)$$

$$\left[c^2 \frac{\partial^2}{\partial \tau^2} \left(l^2 \frac{\partial^2}{\partial \beta^2} + 1 \right) + l^2 \frac{\partial^4}{\partial \beta^4} + 1 \right] W - \frac{\partial}{\partial \beta} \left(l^2 c^2 \frac{\partial^2}{\partial \tau^2} + l^2 \frac{\partial^2}{\partial \beta^2} - 1 \right) V + l^2 \frac{\partial^2 T_2}{\partial \beta^2} - T_1 = 0.$$

Здесь $V(\beta, \tau) = \frac{v(\beta, \tau)}{R}$, $W(\beta, \tau) = \frac{w(\beta, \tau)}{R}$, $v(\beta, \tau)$, $w(\beta, \tau)$ — компоненты вектора перемещения точек срединной поверхности; $\tau = \frac{\tau'}{\tau_1}$ — без-